

Дискретные системы

PACS 07.05.Kf, 02.10.Ox

© 2008 г. А.А. ЛАЗАРЕВ, д-р физ.-мат. наук,
Е.Р. ГАФАРОВ, канд. физ.-мат. наук
(Институт проблем управления им. В.А. Трапезникова РАН, Москва)

К РЕШЕНИЮ ЗАДАЧИ ПОСТРОЕНИЯ РАСПИСАНИЯ ВЫПОЛНЕНИЯ ПРОЕКТА¹

Рассматривается задача построения расписания проекта с учетом ограничений на ресурсы (*RCPS*) и ее частные случаи. Проведен сравнительный анализ известных нижних оценок целевой функции – минимизации общего времени выполнения проекта. Выдвинута гипотеза, что для задачи *RCPS* без прерываний в обслуживании требований оптимальное значение целевой функции не более чем в два раза больше оптимального значения целевой функции соответствующей задачи с прерываниями. Представлены доказательства гипотезы для случаев задачи с параллельными машинами и без отношений предшествования.

1. Введение

В работе рассматриваются задачи построения расписания на быстродействие (минимизация общего времени окончания обслуживания всего множества требований) с ресурсными ограничениями и отношениями предшествования. Данные задачи часто возникают на практике. Например, при строительстве того или иного объекта на разных стадиях строительства необходимо разное количество трудовых ресурсов, строительной техники, материалов и т.п. Между отдельными стадиями строительства существуют отношения предшествования, обусловленные технологией. Требуется составить расписание выполнения работ, при котором не нарушаются отношения предшествования, ресурсные ограничения, и при этом срок окончания строительства был бы минимальным.

В разделе 2 представлена постановка задачи построения расписания проекта с учетом ограничения на ресурсы (*RCPS*). В третьем разделе приведены результаты анализа известных нижних оценок для задачи *RCPS* и новая нижняя оценка. Авторами выдвинута гипотеза, что значения целевой функции для задачи *RCPS* на быстродействие с прерываниями и без прерываний отличаются не более чем в 2 раза. Эскиз доказательства и рассуждения о практическом применении гипотезы представлен в разделе 4. Там же рассматривается частный случай задачи с одним кумулятивным ресурсом и пустым множеством отношений предшествования.

¹ Работа выполнена в рамках гранта поддержки ведущих научных школ (проект НШ-5833.2006.1) и при финансовой поддержке Фонда содействия отечественной науке.

В разделе 5 приведено доказательство выдвинутой гипотезы для частного случая рассматриваемой задачи (Parallel Machine Scheduling – составление расписаний для параллельных машин). В заключительном разделе 6 проведен анализ полученных результатов.

2. Постановка задачи

Дано множество требований $N = \{1, \dots, n\}$ и K возобновляемых ресурсов. В каждый момент времени t доступно Q_k единиц ресурса k , $k = 1, \dots, K$. Заданы продолжительности обслуживания $p_i \in \mathbb{Z}^+$ для каждого требования $i = 1, \dots, n$. Во время обслуживания требования i требуется $q_{ik} \leq Q_k$ единиц ресурса $k = 1, \dots, K$. После завершения обслуживания требования освобожденные ресурсы в полном объеме могут быть мгновенно направлены на выполнение других требований.

Между некоторыми парами требований заданы ограничения предшествования: $i \rightarrow j$ означает, что обслуживание требования j начинается не раньше окончания обслуживания требования i .

Обслуживание требований начинается в момент времени $t = 0$. Прерывания при обслуживании требований запрещены.

Необходимо определить моменты времени начала обслуживания требований S_i , $i = 1, \dots, n$, так, чтобы минимизировать время выполнения всего проекта $C_{\max} = \max_{i=1, \dots, n} \{C_i\}$, $C_i = S_i + p_i$. При этом должны быть соблюдены следующие ограничения:

- в каждый момент времени $t \in [0, C_{\max})$ и $\sum_{i=1}^n q_{ik} \varphi_i(t) \leq Q_k$, $k = 1, \dots, K$, где $\varphi_i(t) = 1$, если требование i обслуживается в момент времени t и $\varphi_i(t) = 0$ в противном случае, т.е. требования в процессе выполнения должны быть полностью обеспечены ресурсами;
- не нарушаются отношения предшествования, т.е. выполняется $S_i + p_i \leq S_j$, если $i \rightarrow j$, $i, j \in N$.

Данную задачу будем называть *задачей построения расписания проекта с учетом ограничений на ресурсы* и обозначать *RCPS* (Resource-Constrained Project Scheduling Problem, как принято называть в англоязычной литературе). За полиномиальное время к данной задаче может быть сведена *NP*-трудная задача о многомерном ранце.

Регулярно разные исследователи выпускают интегрированные обзоры наиболее значимых результатов по задаче *RCPS*, например [1]. Для тестирования и сравнения многочисленных алгоритмов решения задачи *RCPS* создана библиотека тестовых примеров *PSPLIB* [2]. Наиболее “быстрым” на данный момент алгоритмом признан алгоритм ветвей и границ Брукера и др. [3]. Среди метаэвристических алгоритмов стоит выделить алгоритм, описанный в [4]. Экспериментальный анализ некоторых эвристических алгоритмов приведен в [5] и [6]. Точный алгоритм решения задачи *RCPS* с прерываниями предложен в [7].

Решение задачи *RCPS* может быть представлено в виде набора моментов начала обслуживания требований $S = (S_1, \dots, S_n)$. Решение, удовлетворяющее ресурсным ограничениям и ограничениям предшествования, будем называть допустимым.

Можем представить структуру проекта как *требования-в-вершинах* ориентированного графа $G = (V, A)$, где каждой вершине из $V = \{1, \dots, n\}$ соответствует некоторое требование множества $N = \{1, \dots, n\}$, а множество дуг $A = \{(i, j) \mid i, j \in V : i \rightarrow j\}$ соответствует ограничениям предшествования. Очевидно, что допустимое решение существует только когда граф предшествования ацикличен.

Обычно в рассмотрение вводят два фиктивных требования 0 и $n + 1$ с продолжительностями обслуживания $p_0 = p_{n+1} = 0$. Отношения предшествования $0 \rightarrow j \rightarrow n + 1$, $j = 1, \dots, n$, $q_{0k} = q_{n+1k} = 0$, $k = 1, \dots, K$.

Будем обозначать через UB верхнюю границу для оптимального значения C_{\max} . К примеру, можем принять $UB = \sum_{i=1}^n p_i$.

Для каждого требования $i \in N$ определим временное окно $[r_i, d_i]$, в котором требование i должно быть обслужено при любом допустимом расписании S :

$$r_0 = 0; \quad r_i = \max_{j|(j,i) \in A} \{r_j + p_j\}, \quad i = 1, \dots, n + 1;$$

$$d_{n+1} = UB; \quad d_i = \min_{j|(i,j) \in A} d_j - p_j, \quad i = n, n - 1, \dots, 0.$$

2.1. Алгоритм диспетчеризации для задачи RCSPS

Далее приведем популярный алгоритм построения расписания выполнения проекта [3].

Алгоритм 1 (Алгоритм List Scheduling (*LS*)).

1. Пусть EL – список всех требований без предшественников.

$$Q_k(\tau) = Q_k \quad \forall \tau, \quad k = 1, \dots, K.$$

2. Если $EL = \emptyset$, то переходим к шагу 10;

3. Выберем требование $j \in EL$;

4. $t := \max_{i|(i,j) \in A} \{S_i + p_i\}$. Если для требования j предшественники не определены, тогда $S_j = 0$;

5. Если существует такой ресурс k , что $q_{jk} > Q_k(\tau)$ для некоторого $\tau \in [t, t + p_j]$, тогда вычислим минимальное значение $t_k > t$, такое, что работа j может быть выполнена на интервале $[t_k, t_k + p_j]$, если рассматривается только ресурс k . Если такого ресурса k нет, то переходим к шагу 7;

6. Положим $t := t_k$. Переходим к шагу 5;

7. Назначим обслуживание требования j на интервал $[S_j, C_j] = [t, t + p_j]$;

8. Резервируем ресурсы под требование $Q_k(\tau) = Q_k(\tau) - q_{jk}$, $k = 1, \dots, r$, $\tau \in [t, t + p_j]$;

9. $EL = EL \setminus \{j\}$. Добавляем в EL последователей требования j , для которых все предшественники расставлены. Переходим к шагу 2;

10. Конец алгоритма.

Полученное решение зависит от выбора требования j на шаге 3 алгоритма. Идея данного алгоритма заключается в том, что требование j ставится в расписание с наиболее раннего момента времени, при котором не нарушаются ресурсные ограничения и ограничения предшествования. Трудоемкость алгоритма $O(n^2K)$ операций.

Активным назовем такое допустимое расписание (решение) $S = (S_1, \dots, S_n)$, для которого не существует другого допустимого расписания $S' = (S'_1, \dots, S'_n)$, такого, что $S'_j \leq S_j \forall j \in N$, хотя бы одно из неравенств строгое. Алгоритмом *LS* строятся только активные расписания. Очевидно, что оптимальное расписание следует искать среди множества активных.

В следующей теореме доказано, что активному расписанию (S_1, \dots, S_n) соответствует некоторая перестановка элементов множества N , которую будем обозначать через $\pi = (j_1, \dots, j_n)$.

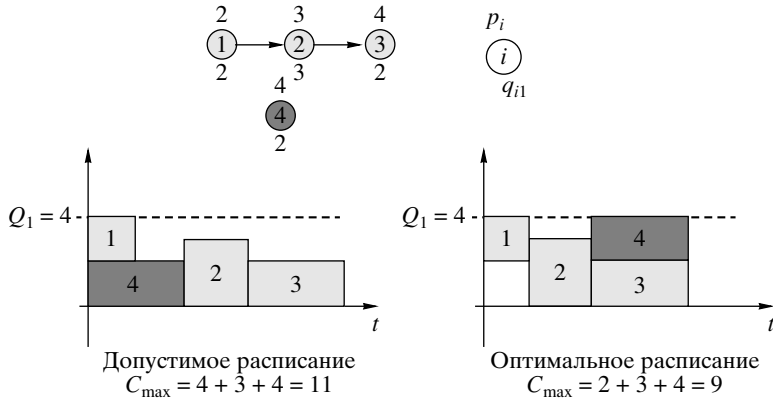


Рис. 1. Пример задачи RCPSP.

Теорема 1 [3]. Активное расписание однозначно представляется в виде перестановки $\pi = (j_1, \dots, j_n)$ из n требований.

Перестановка π задает последовательность выбора требования j на шаге 3 алгоритма.

Подобный алгоритм зачастую называют “конкурсом”, так как требование на шаге 3 может выбираться согласно некоторому “приоритету”.

Пример 1.

Рассмотрим пример, представленный на рис. 1. Проект состоит из 4-х требований. На сетевом графике сверху над узлами (для i -го требования) указана продолжительность обслуживания требований p_i , снизу – необходимое для обслуживания требования количество q_{i1} возобновляемого ресурса 1. Всего доступно 4 единицы ресурса 1 (к примеру, доступно 4 монтажника).

На рис. 1 представлено 2 допустимых расписания, при которых соблюдены отношения предшествования, ограничения на ресурсы и продолжительность обслуживания требований.

Продемонстрируем работу алгоритма на примере.

Пример 1. Шаг 0. $EL = \{1, 4\}$;

Шаги 3–9. Пусть $j = 1$. Самое раннее время обслуживания требования 1: $[0, 2]$. $EL = \{4, 2\}$;

Шаги 3–9. Пусть $j = 4$. Самое раннее время обслуживания требования 4: $[0, 4]$. $EL = \{2\}$;

Шаги 3–9. $j = 2$. Самое раннее время обслуживания требования 2: $[4, 7]$, так как на интервале $[2, 4]$ для требования 2 уже не хватает ресурсов (зарезервированы под требование 4). $EL = \{3\}$;

Шаги 3–9. $j = 3$. Самое раннее время выполнения требования 3: $[7, 11]$, так как обслуживание требования 2 заканчивается в момент времени 7. $EL = \emptyset$.

В итоге получаем расписание, при котором время выполнения проекта $C_{\max} = 11$. Можно представить последовательность постановки требований в расписание как перестановку $\pi = (1, 4, 2, 3)$.

Если бы поставили требования в порядке $(1, 2, 4, 3)$ или $(1, 2, 3, 4)$, то получили бы расписание, при котором $C_{\max} = 9$, т.е. расписание, соответствующее перестановке $\pi = (1, 2, 4, 3)$, лучше с точки зрения целевой функции.

На основании данного алгоритма диспетчеризации можно построить точный алгоритм ветвей и границ. Ветвление в нем происходит при выборе требования j .

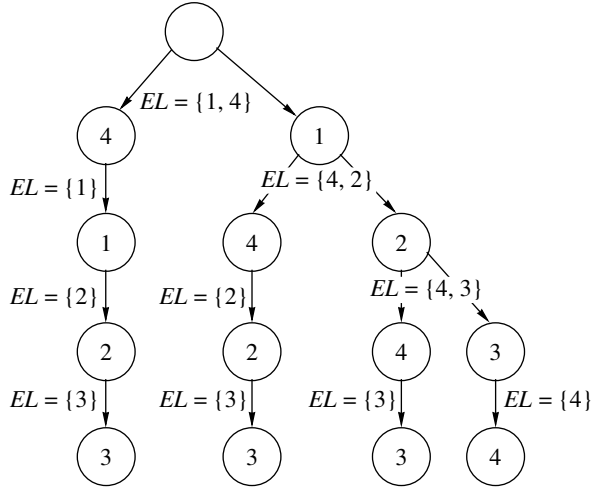


Рис. 2. Дерево поиска оптимального расписания.

Схема ветвления данного алгоритма для примера рис. 1 представлена на рис. 2. Так как алгоритм ветвей и границ является наиболее эффективным для решения данной задачи, то становится актуальным нахождение “хороших” нижних оценок.

2.2. Задача RCPSP с прерываниями обслуживания требований

Задачу RCPSP, где разрешены прерывания в обслуживании требований, будем называть PRCPSP (Preemption Resource-Constrained Project Scheduling Problem – задача построения расписания проекта с учетом ограничений на ресурсы, с возможностью прерывать обслуживание требований).

Решение задачи PRCPSP может быть представлено в виде набора множеств, состоящих из пар чисел $S' = \{S_1 = \{[s_{11}, c_{11}], \dots, [s_{1m_1}, c_{1m_1}]\}, S_2 = \{[s_{21}, c_{21}], \dots, [s_{2m_2}, c_{2m_2}]\}, \dots\}$. Требование 1 обслуживается непрерывно на промежутках $[s_{11}, c_{11}], \dots, [s_{1m_1}, c_{1m_1}]$ с $m_1 - 1$ прерываниями.

Пусть $C_{\max}(S^*)$ – оптимальное значение целевой функции для примера RCPSP. Обозначим $C_{\max}(S_{pmtn}^*)$ – оптимальное значение целевой функции для того же примера, когда разрешены прерывания.

На рис. 3 представлен пример RCPSP и оптимальные решения в случае с прерываниями и без прерываний, когда обслуживается n требований и в каждый момент времени доступно две единицы ресурса.

Сетевой график проекта для данного примера состоит из двух несвязных фрагментов. Первый фрагмент – последовательность “длинных” и “коротких” требований (продолжительностью p и ε соответственно, где ε – достаточно малая величина). Второй фрагмент состоит из одного требования, продолжительностью $(n/2)p$. Значение целевой функции:

$$\begin{aligned} C_{\max}(S^*) &= \left(\frac{n}{2} - 1\right)(p + \varepsilon) + \frac{n}{2}p, & C_{\max}(S_{pmtn}^*) &= \left(\frac{n}{2} - 1\right)(p + \varepsilon) + p, \\ C_{\max}(S^*) - C_{\max}(S_{pmtn}^*) &= \left(\frac{n}{2} - 1\right)p < C_{\max}(S_{pmtn}^*), \\ C_{\max}(S^*) &< 2 \cdot C_{\max}(S_{pmtn}^*), \end{aligned}$$

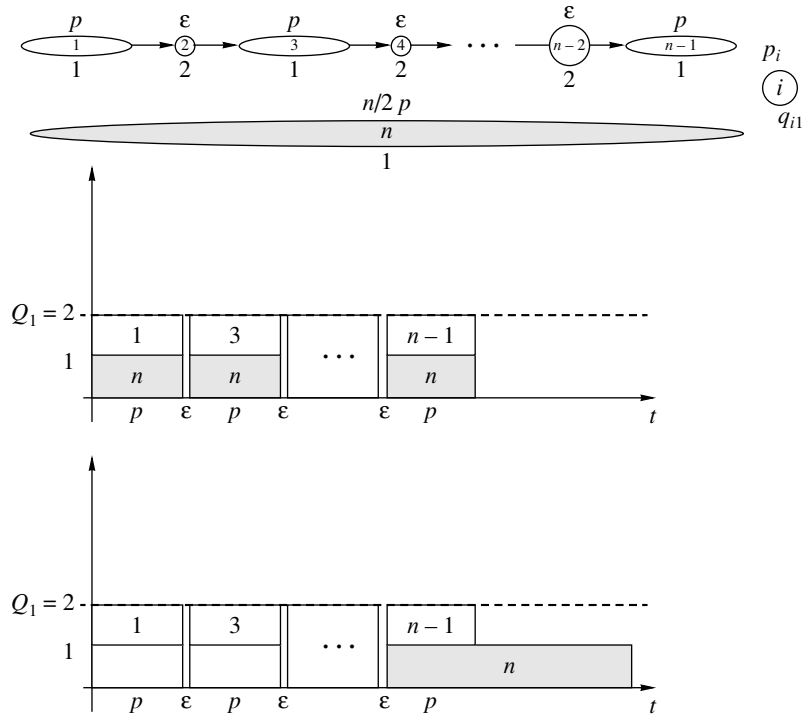


Рис. 3. Пример *RCPSP* с прерываниями.

т.е. время выполнения проекта без прерываний превышает время выполнения проекта с прерываниями не более чем в 2 раза. Оценка асимптотически достигается при $n \rightarrow \infty$.

Обратим внимание, что при расписании S^*_{pmtn} каждый фрагмент $l = [s_{nl}, c_{nl})$ требования n обслуживается параллельно с некоторым другим требованием.

3. Относительная погрешность нижних оценок для задачи *RCPSP*

В данном разделе приводятся результаты анализа нижних оценок для задачи *RCPSP*, в частности относительная погрешность известных нижних оценок.

3.1. LB_0 – длина критического пути

Определение 1. Путь, соединяющий вершины 0 и $n + 1$ в сетевом графике и имеющий наибольшую длину, называется критическим путем. Его длина складывается из продолжительности обслуживания требований, входящих в этот путь.

Длина критического пути будет равна $C_{\max}(S^*)$, когда нет ограничений на ресурсы, т.е. длина критического пути является нижней оценкой для $C_{\max}(S^*)$. Этую нижнюю оценку принято обозначать LB_0 .

Утверждение 1. Существует пример *RCPSP*, для которого $\frac{C_{\max}(S^*)}{LB_0} = n$.

Доказательство. Рассмотрим пример *RCPSP*, где требования $i = 1, \dots, n$ имеют продолжительности обслуживания $p_i = p$. Ограничений предшествования

между требованиями нет. Требуется всего один ресурс, причем $q_{i1} = Q_1$, $i = 1, \dots, n$. Очевидно, что $LB_0 = p$. Но $C_{\max}(S^*) = pn$, так как никакие два требования не могут обслуживаться параллельно в силу ограничения на ресурсы $q_{i1} = Q_1$, $i = 1, \dots, n$. Тогда $\frac{C_{\max}(S^*)}{LB_0} = n$.

Так как граф предшествования ациклический, то оценка LB_0 может быть найдена за $O(n^2)$ операций.

3.2. LB_1 – максимальная загрузка ресурса

Другая нижняя оценка LB_1 может быть найдена за $O(nK)$ операций при рассмотрении каждого ресурса отдельно.

Определение 2. Назовем величину $\sum_{i=1}^n q_{ik}p_i$ суммарной загрузкой ресурса k .

Очевидно, что $\sum_{i=1}^n q_{ik}p_i \leq Q_k \cdot C_{\max}(S^*)$, $k = 1, \dots, K$. Тогда значение

$$LB_1 = \max_{k=1}^K \left\lceil \sum_{i=1}^n q_{ik}p_i / Q_k \right\rceil$$

является нижней оценкой для $C_{\max}(S^*)$.

Утверждение 2. Существует пример RCPSP, для которого $C_{\max}(S^*) - LB_1 = \sum_{i=1}^n p_i - 1$.

Доказательство. Рассмотрим пример RCPSP, где требования $i = 1, \dots, n$ имеют продолжительности обслуживания p_i . Заданы отношения предшествования $i \rightarrow i + 1$, $i = 1, \dots, n - 1$; $q_{i1} = \varepsilon$, $i = 1, \dots, n$. Пусть $Q_1 = \sum_{i=1}^n p_i \varepsilon$. Очевидно, что $LB_1 = \sum_{i=1}^n q_{i1}p_i / Q_1 = 1$. Но $C_{\max}(S^*) = \sum_{i=1}^n p_i$. Тогда $C_{\max}(S^*) - LB_1 = \sum_{i=1}^n p_i - 1$. Утверждение доказано.

Очевидно, что для примера RCPSP, для которого ограничения на ресурсы не заданы, выполняется $C_{\max}(S^*) - LB_1 = \sum_{i=1}^n p_i$.

3.3. LB_S – дополнение критического пути

Обозначим множество требований, принадлежащих критическому пути, через CP . Для каждого требования $i \notin CP$ обозначим через e_i максимальную длину интервала, входящего в $[r_i, d_i]$, в котором требование i может обслуживаться параллельно с требованиями критического пути без нарушения ограничений на ресурсы. Если выполняется $e_i < p_i$, то не существует допустимого расписания, при котором $C_{\max}(S^*) = LB_0$. Тогда значение

$$LB_S = LB_0 + \max_{i \notin CP} \{\max\{p_i - e_i, 0\}\}$$

также является нижней оценкой для $C_{\max}(S^*)$.

LB_S может быть найдена за $O(nK|CP|)$ операций, где $|CP|$ – количество требований в критическом пути.

Утверждение 3. Существует пример *RCPSP*, для которого $\frac{C_{\max}(S^*)}{LB_S} = n/2$.

Доказательство. Рассмотрим пример *RCPSP*, где требования $i = 1, \dots, n$ имеют продолжительности обслуживания $p_i = p$. Ограничений предшествования между требованиями нет. Пусть $q_{i1} = Q_1$, $i = 1, \dots, n$, тогда $LB_0 = p$. Нетрудно вычислить $LB_S = p + \max\{p - 0, 0\} = 2p$.

Но $C_{\max}(S^*) = pn$, так как никакие два требования не могут обслуживаться параллельно в силу ограничения на ресурсы $q_{i1} = Q_1$, $i = 1, \dots, n$. Поэтому $\frac{C_{\max}(S^*)}{LB_S} = n/2$. Утверждение доказано.

3.4. Нижняя оценка Мингоцци (*Mingozzi*)

В [8] представлена формулировка задачи *RCPSP* как задачи линейного программирования. Нижняя оценка Мингоцци получена частичной релаксацией исходной модели. В более ранней работе [9] был рассмотрен подобный метод получения нижней оценки. Обобщение данного метода приведено в [10].

Определение 3. Если существует путь из вершины i в вершину j в ориентированном графе, то будем говорить, что между требованиями i и j существуют косвенные отношения предшествования.

Если $i \rightarrow j$, то будем говорить, что между данными требованиями заданы прямые отношения предшествования.

Определение 4. Множество требований $X \subset N$ будем называть допустимым множеством, если между каждой парой требований $i, j \in X$ нет отношений предшествования, прямых или косвенных, и ограничения на ресурсы не нарушаются, $\sum_{i \in X} q_{ik} \leq Q_k$, $k = 1, \dots, K$.

Определение 5. Допустимое множество X назовем доминирующим, если не существует другого допустимого множества Y такого, что выполняется $X \subset Y$.

Рассмотрим список всех доминирующих множеств X_1, \dots, X_f и соответствующие им векторы $a^j \in \{0, 1\}^n$, $j = 1, \dots, f$: $a_i^j = 1$, если $i \in X_j$, иначе $a_i^j = 0$, $i = 1, \dots, n$.

Определим через x_j длину интервала, в котором все требования множества X_j обслуживаются параллельно. Тогда следующая задача линейного программирования позволяет вычислить нижнюю оценку LB_M для $C_{\max}(S^*)$ [8]:

$$(1) \quad \begin{cases} \min \sum_{j=1}^f x_j, \\ \sum_{j=1}^f a_i^j x_j \geq p_i, \quad i = 1, \dots, n, \\ x_j \geq 0, \quad j = 1, \dots, f. \end{cases}$$

В данной постановке допускается, что требование i может обслуживаться больше чем за p_i единиц времени, но не меньше. В модели частично нарушаются отношения предшествования и допускаются прерывания обслуживания требований.

В [3] отмечается, что f растет экспоненциально с ростом n . При $n = 60$ имеем $f \approx 300000$, для $n = 90$ даже $f = 8000000$. В [3] приводится также эффективная техника вычисления нижней оценки LB_M . Но результаты экспериментов показали, что “качество оценки плохое”. Тем не менее оценка является одной из самых “сильных” на данный момент.

Утверждение 4. Вычисление оценки LB_M является NP -трудной задачей.

Доказательство. Рассмотрим NP -трудную задачу упаковки в паллеты. Данные стандартные паллеты длиной W и n предметов, каждый длиной w_i , $i = 1, \dots, n$. Необходимо упаковать все предметы в паллеты так, чтобы число использованных паллет было минимальным.

Преобразуем исходную задачу упаковки в паллеты в задачу $RCPSP$. Каждое требование $i = 1, \dots, n$ соответствует предмету i . Зададим $p_i = 1$, $q_{i1} = w_i$, $i = 1, \dots, n$, $Q_1 = W$. Отношения предшествования между требованиями не заданы. Тогда $C_{\max}(S^*)$ соответствует минимальному необходимому количеству паллет в исходной задаче.

Очевидно, что $LB_M = C_{\max}(S^*)$ для построенного примера $RCPSP$. Следовательно, задача нахождения оценки LB_M эквивалентна решению NP -трудной задачи упаковки в паллеты. Утверждение доказано.

В результате вычисления оценки LB_M обслуживание некоторых требований может прерываться. Тогда верно следующее утверждение.

Утверждение 5. Существует пример $RCPSP$, для которого $\frac{C_{\max}(S^*)}{LB_M} \approx 2$.

Доказательство. Рассмотрим пример, изображенный на рис. 3. Для данного примера при вычислении LB_M имеем доминирующие множества: $X_1 = \{1, n\}$, $X_2 = \{2\}$, $X_3 = \{3, n\}$, $X_4 = \{4\}, \dots, X_{n-1} = \{n-1, n\}$ и оптимальное решение соответствующей задачи ЛП (1): $x_1 = x_3 = \dots = x_{n-1} = p$, $x_2 = x_4 = \dots = x_{n-2} = \varepsilon$.

Можно так подобрать значения n, p, ε , что получим $\frac{C_{\max}(S^*)}{LB_M} \approx 2$. Утверждение доказано.

В результате вычисления оценки LB_M могут быть нарушены некоторые отношения предшествования. Тогда верно следующее утверждение.

Утверждение 6. Существует пример $RCPSP$, для которого $\frac{C_{\max}(S^*)}{LB_M} = 1,5$, “в оценке” нарушены отношения предшествования.

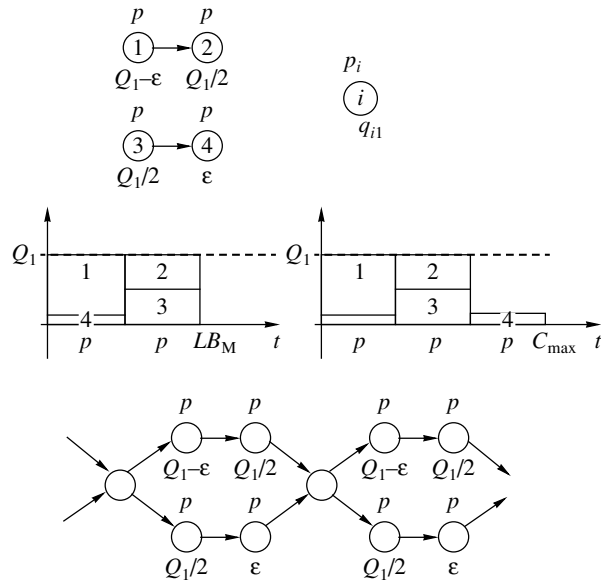


Рис. 4. Рисунок к доказательству LB_M .

Доказательство. Рассмотрим пример, изображенный на рис. 4, когда $Q_1/2 \gg \varepsilon$. При вычислении оценки LB_M получим $X_1 = \{1, 4\}$, $X_2 = \{2, 3\}$, $x_1 = p$, $x_2 = p$, $LB_M = 2p$. Но $C_{\max}(S^*) = 3p$. Тогда $\frac{C_{\max}(S^*)}{LB_M} = 1,5$. Утверждение доказано.

В [3] представлена модифицированная оценка Мингощи LB_B , при вычислении которой учитываются $[r_i, d_i]$, $i = 1, \dots, n$. Для этой оценки утверждения и доказательства аналогичны.

3.5. Оценка LB_{LG}

Усилим оценку LB_1 , добавив в рассмотрение $[r_i, d_i]$, $i = 1, \dots, n$, и максимально возможный уровень загрузки в каждой точке t .

Для нахождения оценки LB_{LG} используются алгоритмы решения задачи Разбиение.

Задача 1. Задача Разбиение (Partition). Задано упорядоченное множество из n положительных целых чисел $B = \{b_1, b_2, \dots, b_n\}$. Требуется разбить множество B на два подмножества B_1 и B_2 , $B_1 \cap B_2 = \emptyset$ и $B_1 \cup B_2 = B$ так, чтобы минимизировать значение:

$$\left| \sum_{b_i \in B_1} b_i - \sum_{b_i \in B_2} b_i \right| \longrightarrow \min.$$

Опишем **модифицированную задачу Разбиение**, которая потребуется для вычисления LB_{LG} .

Задача 2. Задано упорядоченное множество из n положительных целых чисел $B = \{b_1, b_2, \dots, b_n\}$ и число $A \leq \sum_{b_i \in B} b_i$. Требуется выделить подмножество чисел $B_1 \in B$ так, чтобы минимизировать значение:

$$\left| A - \sum_{b_i \in B_1} b_i \right| \longrightarrow \min.$$

В следующем утверждении показано, что модифицированная задача Разбиение сводится к задаче Разбиение.

Утверждение 7. Если для модифицированной задачи Разбиение существует $B_1 \in B$, что $\sum_{b_i \in B_1} b_i = A$, то для задачи Разбиение с множеством чисел $\overline{B} = B \cup \{b_{n+1}, b_{n+2}\}$, где $b_{n+1} = A + \sum_{b_i \in B} b_i$ и $b_{n+2} = 2 \sum_{b_i \in B} b_i - A$, существуют два подмножества B_1 и B_2 , $B_1 \cap B_2 = \emptyset$ и $B_1 \cup B_2 = \overline{B}$, $\sum_{b_i \in B_1} b_i = \sum_{b_i \in B_2} b_i$.

Доказательство. Сведем модифицированную задачу к исходной. Дополним множество B двумя требованиями: $b_{n+1} = A + \sum_{b_i \in B} b_i$ и $b_{n+2} = 2 \sum_{b_i \in B} b_i - A$ и рассмотрим задачу Разбиение с множеством чисел $B \cup \{b_{n+1}, b_{n+2}\}$.

Очевидно, что числа b_{n+1} и b_{n+2} окажутся в разных подмножествах B_1 и B_2 . Пусть выделим подмножество чисел $B_1 \in B$ так, что $A = \sum_{b_i \in B_1} b_i$. Рассмотрим два множества

$$\overline{B_1} = \{b_{n+2}\} \cup B_1 \quad \text{и} \quad \overline{B_2} = \{b_{n+1}\} \cup B \setminus B_1.$$

Тогда

$$\sum_{b_i \in \overline{B_1}} b_i = A + 2 \sum_{b_i \in B} b_i - A = 2 \sum_{b_i \in B} b_i$$

и

$$\sum_{b_i \in \overline{B_2}} b_i = A + \sum_{b_i \in B} b_i + \sum_{b_i \in B} b_i - A = 2 \sum_{b_i \in B} b_i,$$

т.е. $\sum_{b_i \in \overline{B_1}} b_i = \sum_{b_i \in \overline{B_2}} b_i$. Утверждение доказано.

Очевидно, что задачу Разбиение можно свести к модифицированной задаче Разбиение, приняв $A = \frac{1}{2} \sum_{b_i \in B} b_i$, т.е. можно говорить об эквивалентности обеих задач.

Для обеих задач Разбиение в [11] приводится эффективный графический алгоритм, который на практике зарекомендовал себя лучше известных алгоритмов динамического программирования [12]. С помощью данного графического алгоритма можно решать примеры с нецелочисленными значениями b_i и A .

Обозначим $z_0 < z_1 < \dots < z_\tau$ – упорядоченный список различных r_i, d_i значений. Для каждого интервала $I_t = [z_t, z_{t-1})$, $t = 1, \dots, \tau$, определим множество требований Y_t , для которых $r_i \leq z_{t-1} \leq z_t \leq d_i$.

Для каждого ресурса $k = 1, \dots, K$ оценка LB_{LG} вычисляется независимо.

Алгоритм вычисления LB_{LG} .

Алгоритм 2.

1. $G := 0; LB_{LG} := 0; t := 1;$

2. Учитываем объем работ по ресурсу k для требований, которые доступны для обслуживания с момента времени z_{t-1} . $G := G + \sum_{i|z_{t-1}=r_i} q_{ik} p_i$;

3. Построим пример модифицированной задачи Разбиение: $B := \{q_{ik} | i \in Y_t\}$, $A := Q_k$;

4. Решив пример модифицированной задачи Разбиение, найдем подмножество B' и значение $H = \sum_{b_i \in B'} b_i$, $A - \sum_{b_i \in B'} b_i \geq 0$. Значение H – максимально возможный уровень загрузки;

5. Вычислим длину прямоугольника с высотой H и объемом не больше G . $l := \min\{z_t - z_{t-1}, G/H\}$;

6. $G := G - lH$, $LB_{LG} := z_t + l$.

7. Если $t = \tau$, тогда переходим к шагу 8, иначе $t := t + 1$, и переходим к шагу 2.

8. Конец работы алгоритма.

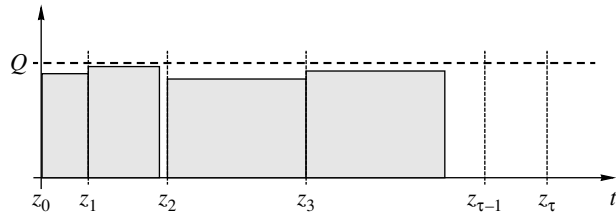


Рис. 5. Оценка LB_{LG} .

Утверждение 8. Найденное в результате работы алгоритма 2 значение LB_{LG} является нижней оценкой для $C_{\max}(S^*)$.

Доказательство следует из алгоритма вычисления LB_{LG} .

Утверждение 9. Выполняется $LB_{LG} \geq LB_0 - p_j$, где j – последнее требование в критическом пути.

Доказательство. Без ограничения общности примем $LB_0 = d_{\max}$, тогда $LB_0 = d_{\max} = \max_{j \in N} d_j = z_\tau$. При этом $d_{\max} = z_\tau$. По алгоритму имеем $LB_{LG} \geq z_{\tau-1} = z_\tau - p_j$, где j – последнее требование в критическом пути. Тогда $LB_{LG} \geq LB_0 - p_j$. Утверждение доказано.

В отличие от оценки LB_M данную оценку можно модифицировать, чтобы вычислять нижнюю оценку для задач, когда Q_k зависит от времени t (существуют интервалы времени, на которых $Q_k = Q_k(t)$), что полезно на практике и при реализации некоторых алгоритмов ветвей и границ.

Для случая, когда Q_k постоянно, т.е. не зависит от времени t , оценка LB_{LG} вычисляется не более чем за $O\left(n^2 \sum_{i=1}^n q_{ik}\right)$ операций. По результатам экспериментов алгоритмы, представленные в работе [11], позволяют найти решение задачи Разбиение за время $O(n^2)$ для подавляющего большинства примеров. Оценку LB_{LG} можно вычислить за $O(n^3)$ для большинства примеров.

3.6. Оценка LB_{SPP}

Кажется логичным использовать решение задачи *упаковки в полосу* (Strip Packing Problem (SPP)) как нижнюю оценку для задачи *RCPSP*.

Упаковка в полосу.

Задана полоса высотой R и n предметов, которые необходимо упаковать в полосу без пересечений так, чтобы минимизировать задействованную длину полосы. Для каждого предмета $i = 1, \dots, n$ определена его высота r_i и длина p_i . Переворачивать и разрывать предметы запрещено. Обозначим оптимальную длину полосы через SPP^* .

Каждому примеру SPP “соответствует” пример *RCPSP*, для которого определен один ресурс мощности $Q_1 = R$ и n требований с продолжительностями p_i и потребностями в ресурсе $q_{i1} = r_i$, $i = 1, \dots, n$. Отношения предшествования между требованиями не заданы.

В [13] показано, что существуют примеры, для которых $SPP^* \geq C_{\max}(S^*)$ для соответствующего примера *RCPSP*.

Как было показано выше, все имеющиеся оценки (LB_0, LB_1, LB_s) неэффективны либо их (LB_{LG}, LB_M) нахождение является в общем случае *NP*-трудной задачей. Отсутствие эффективных методов нахождения нижних оценок не позволяет использовать методы ветвей и границ, branch & cuts и т.п. на практике.

4. Отношение оптимальных значений целевой функции для задач с прерываниями и без прерываний

Лемма 1. Для любого примера *PRCPSP* существует оптимальное решение, при котором параллельно каждому фрагменту $l = [s_{il}, c_{il}]$ “прерываемого” требования i в каждый момент времени $t \in [s_{il}, c_{il}]$ обслуживаются другие требования, кроме, быть может, последнего фрагмента.

Доказательство. Предположим, что в оптимальном решении одному из фрагментов l “прерываемого” требования i параллельно не обслуживается ни одно

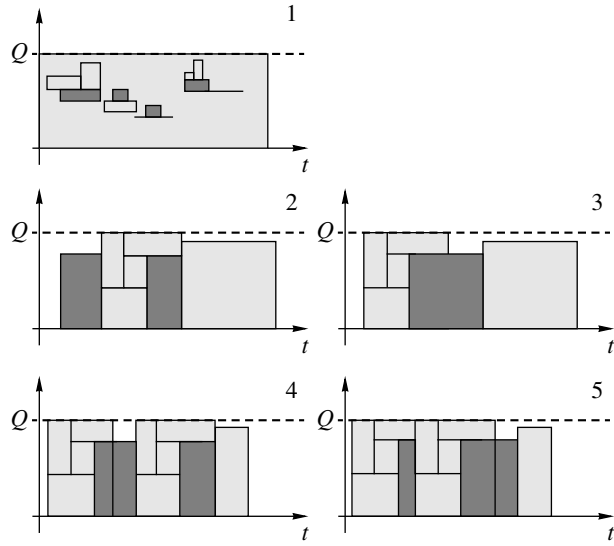


Рис. 6. Рисунок к лемме 1.

требование. Проведем следующее преобразование решения. “Сдвинем” фрагмент l к последующему фрагменту $l + 1$ (или к предыдущему фрагменту $l - 1$) требования i (см. рис. 6 (2 и 3)). При этом требования, обслуживаемые “между” фрагментами l и $l + 1$, сместим “влево” (соответственно “вправо”) на величину $c_{il} - s_{il}$. Повторяя такую операцию, получим расписание, при котором требование i не прерывается, причем значение целевой функции не увеличивается. В процессе выполнения операции не появляются другие “прерванные” требования.

Возможна ситуация, когда перемещается не весь фрагмент l , а только та его часть, которая “не покрывается” другими требованиями. При этом пытаемся переместить эту часть фрагмента к последнему фрагменту m_i (см. рис. 6 (4 и 5)).

Лемма необходима при обосновании следующей гипотезы. Далее будем рассматривать только расписания, удовлетворяющие лемме 1.

Гипотеза 1. Для любого примера $RCPSP$ и соответствующего примера $PRCPSP$ выполняется: $C_{\max}(S^*) \leq 2 \cdot C_{\max}(S')$.

Авторы выдвигают гипотезу, что оптимальное значение целевой функции (общее время выполнения проекта) в задаче без прерывания обслуживания требований не более чем в два раза превышает значение C_{\max} в соответствующей задаче, когда прерывания разрешены.

Эскиз доказательства. Пусть имеем оптимальное решение S' и значение $C_{\max}(S')$ для примера $PRCPSP$ (с прерываниями). Преобразуем полученное решение S' так, чтобы получить допустимое решение S и значение $C_{\max}(S)$ для соответствующего примера $RCPSP$ (без прерываний). Значение $C_{\max}(S)$ является верхней оценкой для оптимального значения $C_{\max}(S^*)$.

Покажем, что $C_{\max}(S) \leq 2 \cdot C_{\max}(S')$. Тогда выполняется $C_{\max}(S^*) \leq C_{\max}(S) \leq 2 \cdot C_{\max}(S')$ и гипотеза будет доказана.

Преобразование решения S' к допустимому решению S проведем следующим образом.

Одно смещение. Пусть при расписании S' обслуживание только одного требования i прерывается.

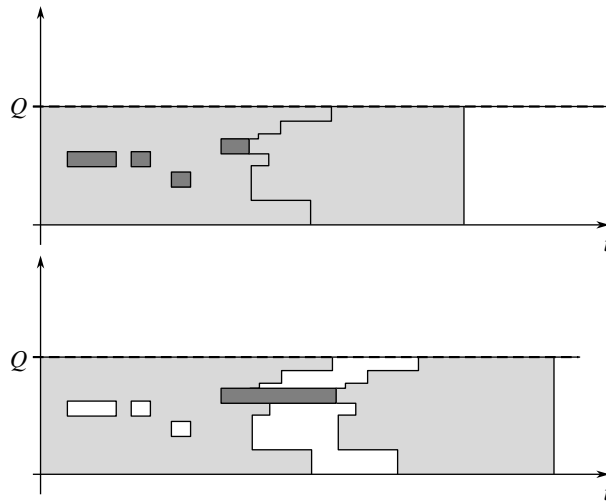


Рис. 7. Одно смещение.

Назначим обслуживание этого требования “целиком” в интервале $[s_{im_i}, s_{im_i} + p_i]$. При этом все требования j , для которых $s_{j1} \leq c_{im_i}$, “остаются” на своих местах. Остальные требования смещаются “вправо” на величину равную $p_i - (c_{im_i} - s_{im_i})$ (см. рис. 7).

В результате такой операции значение C_{\max} увеличилось на величину $p_i - (c_{im_i} - s_{im_i})$, т.е. менее чем в 2 раза.

Продолжительность обслуживания “несмещенного” фрагмента превышает p_i в силу леммы 1.

Аналогично доказывается случай, когда при расписании S' прерывается обслуживание только двух требований (**два смещения**).

Три и более смещений авторы пока не рассматривали.

Доказательство или опровержение исследуемой гипотезы приведут к следующим результатам:

- если гипотеза верна, то, решив задачу с прерываниями, получим нижнюю оценку $LB = C_{\max}(S')$ и недостижимую верхнюю оценку $UB = 2 \cdot C_{\max}(S')$ для задачи $RCPSP$ без прерываний. Верхнюю оценку можно использовать в методе ветвей и границ, эффективно отсекая “плохие” решения. Наоборот, получив $C_{\max}(S^*)$ для задачи $RCPSP$, найдем верхнюю оценку для задачи $PRCPSP$;

- если гипотеза окажется неверна и получится $C_{\max}(S^*) \approx O(n) \cdot C_{\max}(S')$ (т.е. разница в порядка n раз), то “лучшая известная” нижняя оценка LB_M , используемая в методе ветвей и границ, может отклоняться от $C_{\max}(S^*)$ в $O(n)$ раз. В этом случае использование метода типа ветвей и границ (branch & bounds, Constraint Programming и т.п.) с нижней оценкой LB_M окажется неэффективным в общем случае.

4.1. Доказательство гипотезы для случая задачи $RCPSP$ с одним ресурсом

Рассматривается частный случай задачи $RCPSP$ с одним кумулятивным ресурсом мощности Q_1 и пустым графом отношений предшествования. Этот частный случай является NP -трудным. При $q_{j1} = 1$ и $Q_1 = m$ получаем классическую задачу – m -разбиение [14]. Заметно некоторое сходство данного частного случая с задачей упаковки в полосу (SPP). Тем не менее имеются существенные отличия (см. подраздел 3.6). К примеру, при визуальном представлении задачи $RCPSP$ “прямо-

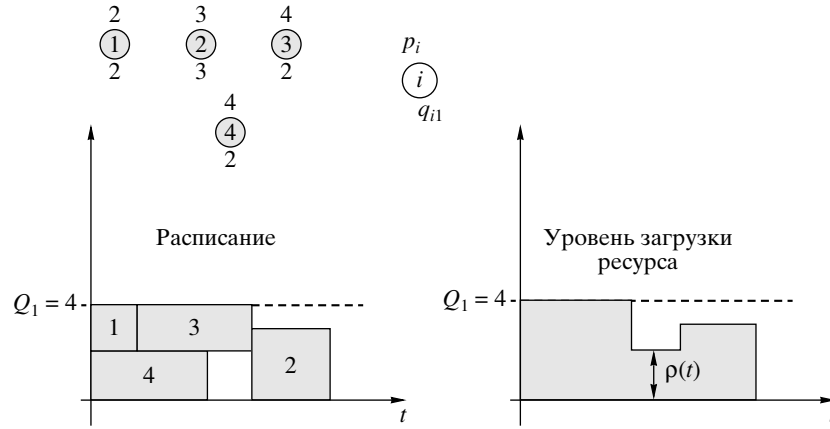


Рис. 8. Пример задачи *RCPSP*.

угольники”, соответствующие требованиям, могут быть разорваны по вертикали, что недопустимо в задаче SPP.

Рассмотрим алгоритм диспетчеризации LS со следующим правилом доминирования: из множества EL , еще не поставленных в расписание требований, выбирается то требование, обслуживание которого может начаться раньше других требований из EL без нарушения ресурсных ограничений. Другими словами, на шаге 2 алгоритма LS каждому требованию $j \in EL$ ставится в соответствие “возможное время начала” r_j , с которого требование может обслуживаться без нарушения ресурсных ограничений. Выбирается требование $j \in EL$ с наименьшим значением r_j . Алгоритм диспетчеризации с таким правилом доминирования будем обозначать LS_t .

Пример 2.

Рассмотрим известный авторам пример (только без отношений предшествования), представленный на рис. 8. Продемонстрируем работу алгоритма LS_t на примере.

Шаг 1. $EL = \{1, 2, 3, 4\}$;

Шаги 3–9. $r_1 = r_2 = r_3 = r_4 = 0$. Пусть $j = 1$. Самое раннее время выполнения требования 1: $[0, 2]$. $EL = \{2, 3, 4\}$;

Шаги 3–9. $r_3 = r_4 = 0$, $r_2 = 2$. Пусть $j = 4$. Самое раннее время выполнения требования 4: $[0, 4]$. $EL = \{2, 3\}$;

Шаги 3–9. $r_3 = 0$, $r_2 = 4$. Тогда $j = 3$. Самое раннее время выполнения требования 3: $[2, 6]$. $EL = \{2\}$;

Шаги 3–9. $r_2 = 6$, $j = 2$. Самое раннее время выполнения требования 2: $[6, 9]$. $EL = \emptyset$.

На рис. 8 схематично представлено полученное расписание и соответствующий ему уровень загрузки ресурса.

Теорема 2. $C_{\max}(LS_t) - p_{\max} < 2 \cdot C_{\max}^*$, где $p_{\max} = \max_{j \in N} p_j$.

Доказательство. Пусть для некоторого примера I , удовлетворяющего рассматриваемому частному случаю, алгоритмом LS_t построено допустимое расписание $S = (S_1, S_2, \dots, S_n)$ и найдено значение целевой функции $C_{\max}(LS_t)$.

Рассмотрим уровень загрузки кумулятивного ресурса в каждый момент времени $t \in [0, C_{\max}(LS_t)]$. Обозначим $N(t) \subseteq N$ – множество требований, обслуживаемых в момент времени t . Будем называть *уровнем загрузки ресурса* в момент времени t величину $\rho(t) = \sum_{j \in N(t)} q_{j1}$. Рассмотрим значения t , для которых $\rho(t) < Q_1/2$. Покажем,

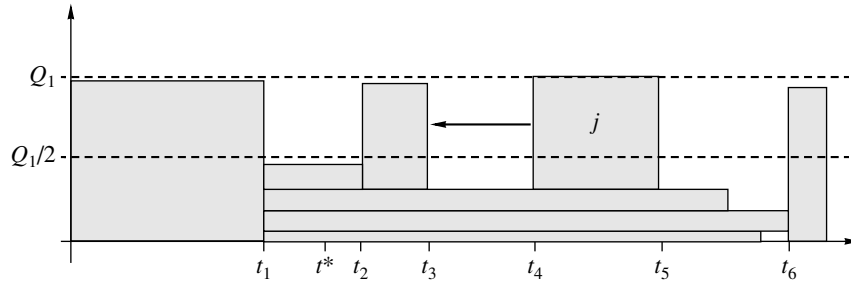


Рис. 9. Рисунок 1 к доказательству теоремы 2.

что на интервале $[0, C_{\max}(LS_t)]$ может существовать не более двух таких интервалов $[t_1, t_2], [t_3, t_4]$, $0 \leq t_1 < t_2 < t_3 < t_4 \leq C_{\max}(LS_t)$, на которых $\rho(t) < Q_1/2$.

Предположим обратное. Пусть существует 3 интервала $[t_1, t_2], [t_3, t_4]$ и $[t_5, t_6]$, $0 \leq t_1 < t_2 < t_3 < t_4 < t_5 < t_6 \leq C_{\max}(LS_t)$, на которых выполняется $\rho(t) < Q_1/2$. Рассмотрим два случая:

1. Пусть в некоторой точке $t' \in [t_3, t_4]$, уровень загрузки в которой $\rho(t') < Q_1/2$, обслуживается требование $j \in N(t')$. Причем $t_2 \leq S_j < t_4$, т.е. требование j не обслуживается ни в одной точке интервала $[t_1, t_2]$. Так как $\rho(t') < Q_1/2$, то $q_{j1} < Q_1/2$, но тогда по алгоритму LS_t требование j должно было начать обслуживаться не позднее момента t_1 , так как $\rho(t_1) < Q_1/2$. Получили противоречие.

Аналогичные рассуждения проводятся для точки $t' \in [t_5, t_6]$ с уровнем загрузки $\rho(t') < Q_1/2$ для требования $j \in N(t')$, где $t_2 \leq S_j < t_6$;

2. Пусть не существует требования j , которое обслуживается в некоторой точке $t' \in [t_3, t_4]$, для которого $t_2 \leq S_j < t_4$. И не существует требования i , которое обслуживается в некоторой точке $t' \in [t_5, t_6]$ и для которого $t_2 \leq S_i < t_6$. Иначе см. п. 1.

Тогда существует точка $t^* \in [t_1, t_2]$, такая что выполняется $N(t') = N(t^*) \forall t' \in [t_3, t_4]$, и $N(t'') \subseteq N(t^*)$ для некоторой точки $t'' \in [t_5, t_6]$ (см. рис. 9).

Рассмотрим требование $j \in N(t')$, $t' \in [t_4, t_5]$, $j \notin N(t^*)$. Такое требование существует, так как по нашему допущению $\rho(t') \geq Q_1/2$. Но тогда по алгоритму LS_t требование j должно было начать обслуживаться не позднее момента t_3 (см. рис. 9). Получили противоречие.

Итак, авторы показали, что на интервале $[0, C_{\max}(LS_t)]$ может существовать не более двух интервалов $[t_1, t_2], [t_3, t_4]$, $0 \leq t_1 < t_2 < t_3 < t_4 \leq C_{\max}(LS_t)$, на которых выполняется $\rho(t) < Q_1/2$.

Более того, если существует второй интервал $[t_3, t_4]$, то $\forall t \in [t_3, t_4]$ выполняется $N(t) \subseteq N(t^*)$ для некоторой точки $t^* \in [t_1, t_2]$. В дальнейшем интервал $[t_1, t_4]$ будем рассматривать “целиком”.

Покажем, что длина такого интервала $t_2 - t_1 \leq p_{\max}$. Предположим противное, что $t_2 - t_1 > p_{\max}$.

Тогда существует требование j , $F_j = S_j + p_j = t_2$, для которого $S_j = t_2 - p_j \geq t_2 - p_{\max} > t_2 - (t_2 - t_1) = t_1$, т.е. $S_j > t_1$. Так как $\rho(S_j) < Q_1/2$, то $q_{j1} < Q_1/2$, но тогда по алгоритму LS_t требование j должно было начать обслуживаться не позднее момента t_1 , так как $\rho(t_1) < Q_1/2$. Получили противоречие. Следовательно, длина интервала $t_2 - t_1 \leq p_{\max}$ (выполняется и для интервала $[t_1, t_4]$: $t_4 - t_1 \leq p_{\max}$).

Схематично представим полученную загрузку оборудования в виде трех блоков X_1, X_2, X_3 (см. рис. 10). Фрагмент X_1 “находится” в интервале $[0, t_1]$, фрагмент X_2 – в интервале $[t_1, t_2]$ и фрагмент X_3 – в интервале $[t_2, C_{\max}(LS_t)]$.

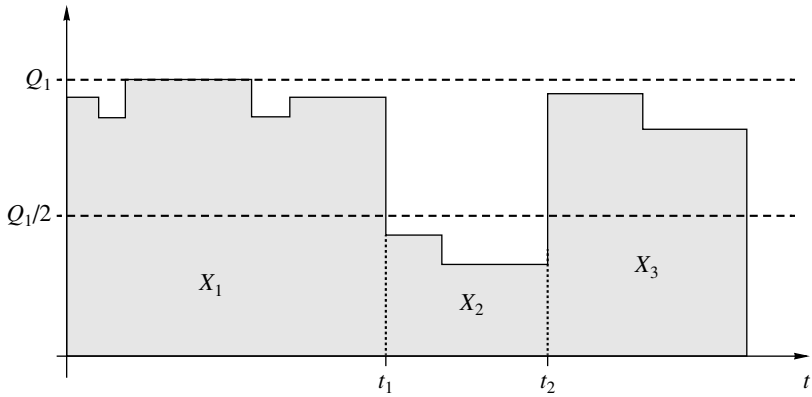


Рис. 10. Рисунок 2 к доказательству теоремы 2.

Суммарную площадь всех трех фигур X_1, X_2 и X_3 будем называть *использованным объемом ресурса* и обозначать через V . Очевидно, что $V = \sum_{j=1}^n p_j q_j$. Соответственно *неиспользованным объемом ресурса* будем называть величину $V_e = Q_1 \cdot C_{\max}(LS_t) - V$.

Очевидно, полученное алгориттом LS_t решение можно улучшить с точки зрения целевой функции, если ресурсы использовать “рациональнее”, не допуская их простоя, т.е. сократить величину V_e (и соответственно C_{\max}).

Рассмотрим пример I' , полученный из исходного примера I уменьшением p_j для некоторых требований $j \in N$. Если для некоторого требования $j \in N$ и некоторой точки $t' \in [t_1, t_2]$ выполняется $j \in N(t')$, то примем $p'_j = p_j - (\max(t_1, S_j) - \min(F_j, t_2))$. Для остальных требований положим $p'_j = p_j$.

Рассмотрим расписание $S' = (S'_1, S'_2, \dots, S'_n)$ для примера I' :

$$\begin{aligned} S'_j &= S_j, & S_j < t_1; \\ S'_j &= t_1, & S_j \in [t_1, t_2]; \\ S'_j &= S_j - (t_2 - t_1), & S_j > t_2, \end{aligned}$$

т.е. при расписании S' сокращен фрагмент X_2 (см. рис. 10) и смешен фрагмент X_3 к точке t_1 .

Очевидно, что расписание S' допустимо для примера I' и построено алгориттом LS_t . Обозначим $\bar{C}_{\max}(LS_t)$ значение целевой функции для примера I' при расписании S' и \bar{C}_{\max}^* – оптимальное значение целевой функции для примера I' . Тогда $\bar{C}_{\max}(LS_t) = C_{\max}(LS_t) - (t_2 - t_1)$, $\bar{C}_{\max}^* \leq C_{\max}^*$, где C_{\max}^* – оптимальное значение целевой функции для исходного примера I .

При расписании $S' \forall t \in [0, \bar{C}_{\max}(LS_t)]$ выполняется $\rho(t) > Q_1/2$, тогда $V > V_e$ для примера I' , а следовательно $2 \cdot \bar{C}_{\max}^* > \bar{C}_{\max}(LS_t)$.

Имеем $2 \cdot C_{\max}^* \geq 2 \cdot \bar{C}_{\max}^* > \bar{C}_{\max}(LS_t) = C_{\max}(LS_t) - (t_2 - t_1) \geq C_{\max}(LS_t) - p_{\max}$.

Обозначим оптимальное значение целевой функции для задачи с прерываниями обслуживания требований через $C_{\max}^*(pmtn)$.

Теорема 3. $2 \cdot C_{\max}^*(pmtn) > C_{\max}^* - p_{\max}$.

Доказательство. Продолжим доказательство предыдущей теоремы. Так как $2 \cdot C_{\max}^*(pmtn) \geq 2 \cdot \bar{C}_{\max}^*(pmtn) \geq \bar{C}_{\max}(LS_t) \geq C_{\max}(LS_t) - p_{\max}$, то отсюда имеем $2 \cdot C_{\max}^*(pmtn) \geq C_{\max}(LS_t) - p_{\max} \geq C_{\max}^* - p_{\max}$.

5. Задача построения расписания для параллельных машин

В данном разделе рассматривается частный случай задачи $RCPSP$ – задача построения расписания для параллельных машин. Дано n требований. Задан граф отношений предшествования и продолжительности обслуживания требований p_j . Требования необходимо обслужить на m параллельных идентичных машинах. Целевая функция C_{\max} – общий момент окончания всех требований. Для данного частного случая имеется единственный кумулятивный ресурс с мощностью $Q_1 = m$, причем $q_{j1} = 1, j = 1, \dots, n$. Будем обозначать данную задачу PMS (Parallel machine scheduling) или $Pm|prec|C_{\max}$, как принято обозначать в теории расписаний. Данная задача является NP -трудной в сильном смысле [15]. Грэхем [16] показал, что простой алгоритм диспетчеризации дает неплохие результаты. Обозначим $C_{\max}(LS)$ значение целевой функции, полученное алгоритмом диспетчеризации (List Scheduling). Тогда $C_{\max}(LS)/C_{\max}^* \leq 2 - \frac{1}{m}$, где C_{\max}^* – оптимальное значение целевой функции.

Рассмотрим задачу PMS с прерываниями обслуживания требований $Pm|prec, pmtn|C_{\max}$. Обозначим оптимальное значение целевой функции для этой задачи $C_{\max}^*(pmtn)$.

В пользу выдвинутой авторами **гипотезы 1** говорит следующий факт.

Теорема 4. $C_{\max}^* \leq 2 \cdot C_{\max}^*(pmtn)$.

Доказательство. В [16] доказано, что

$$C_{\max}(LS) \leq \frac{\sum p_j}{m} + CP,$$

где CP – длина критического пути, т.е. верхняя граница $C_{\max}(LS)$ для задачи $Pm|prec|C_{\max}$ меньше суммы двух простых нижних оценок для этой же задачи.

Нетрудно показать, что $C_{\max}^*(pmtn) \geq \frac{\sum p_j}{m}$ и $C_{\max}^*(pmtn) \geq CP$. Следовательно,

$$C_{\max}(LS) \leq 2 \cdot C_{\max}^*(pmtn).$$

Таким образом, для задачи $Pm|prec|C_{\max}$ гипотеза 1 верна. Впервые подобный результат, к сожалению, не опубликовав его, получил Graham R.L. [15].

6. Заключение

В работе исследована задача построения расписания проекта с учетом ограничений на ресурсы и ее частные случаи. Целевая функция – минимизация общего времени выполнения проекта. Проведен сравнительный анализ известных нижних оценок целевой функции. Показано, что вычисление наиболее эффективной нижней оценки Мингоцци является NP -трудной задачей.

Выдвинута гипотеза, что для рассматриваемой задачи без прерываний в обслуживании требований оптимальное значение целевой функции не более чем в два раза больше оптимального значения целевой функции соответствующей задачи с прерываниями. Представлены доказательства гипотезы для случаев задачи с параллельными машинами и без отношений предшествования в обслуживании требований. Доказательство или опровержение исследуемой гипотезы приведут к следующим результатам:

– если гипотеза верна, то, решив задачу с прерываниями, получим нижнюю оценку $LB = C_{\max}(S')$ и недостижимую верхнюю оценку $UB = 2 \cdot C_{\max}(S')$ для задачи $RCPSP$ без прерываний. Верхнюю оценку можно использовать в методе ветвей и

границ, эффективно отсекая “плохие” решения. Наоборот, получив $C_{\max}(S^*)$ для задачи $RCPSP$, найдем верхнюю оценку для задачи $PRCPSP$;

– если гипотеза окажется неверна и получится $C_{\max}(S^*) \approx O(n) \cdot C_{\max}(S')$ (т.е. относительная разница значений целевых функций будет порядка n), то “лучшая известная” нижняя оценка LB_M , используемая в методе ветвей и границ, может отклоняться от $C_{\max}(S^*)$ в $O(n)$ раз. В этом случае использование метода типа ветвей и границ (branch & bounds, Constraint Programming и т.п.) с нижней оценкой LB_M окажется неэффективным в общем случае.

СПИСОК ЛИТЕРАТУРЫ

1. *Kolish R., Padman R.* An Integrated Survey of Project Scheduling // Manuscripte aus den Institut fur Betriebswirtschaftslehre. Kiel, Germany, 1997.
2. *Kolish R., Sprecher A.* PSPLIB – A project scheduling problem library // Manuscripte aus den Institut fur Betriebswirtschaftslehre. № 396. Kiel, Germany, 1996.
3. *Brucker P., Knust S.* Complex scheduling. Heidelberg: Springer-Verlag, Berlin, 2006.
4. *Merkel D., Middendorf M., Schmeck H.* Ant Colony Optimization for Resource-Constrained Project Scheduling // IEEE Trans. Evolut. Comput. 2002. V. 6. № 4. P. 333–346.
5. *Hartmann S., Kolish R.* Experimental evaluation of state-of-the-art heuristics for the resource-constrained project scheduling problem // EJOR. 2000. № 127. P. 394–407.
6. *Kolish R., Hartmann S.* Heuristics Algorithms for Solving the Resource-Constrained Project Scheduling Problem: Classification and Computational Analysis // Manuscripte aus den Institut fur Betriebswirtschaftslehre. № 469. Kiel, Germany, 1998.
7. *Demeulemeester E.L., Herroelen W.S.* An efficient optimal solution procedure for the pre-emptive resource-constrained project scheduling problem // EJOR. 1996. № 90. P. 334–348.
8. *Mingozzi A., Maniezzo V., Ricciardelli S., Bianco L.* An exact algorithm for project scheduling with resource constraints based on new mathematical formulation // Management Sci. 1998. № 44. P. 714–729.
9. *Burkov V.N.* Problems of optimum distribution of resources // Control Cibernet. 1972. V. 1. № 1/2. P. 27–41.
10. Математические основы управления проектами / Под ред. Буркова В.Н. М.: Выш. шк., 2005.
11. *Лазарев А.А.* Графический подход к решению задач комбинаторной оптимизации // АиТ. 2007. № 4. С. 13–23.
12. *Kellerer H., Pferschy U., Pisinger U.* Knapsack Problems. Berlin, Germany: Springer, 2004.
13. *Rykov I.* Approximate solving of $RCPSP$ // Abstract Guide of OR 2006. Karlsruhe 6.09–8.09, Germany. P. 226.
14. *Гэри М., Джонсон Д.* Вычислительные машины и трудно решаемые задачи. М.: Мир, 1982.
15. *Lawler E.L., Lenstra J.K., Rinnooy Kan A.H.G., Schmoys D.B.* Sequencing and Scheduling: Algorithms and Complexity // Report BS-R8909, Centre for Math. Comput. Scie. Amsterdam. 1989.
16. *Graham R.L.* Bounds for certain multiprocessing anomalies // SIAM J. Appl. Math. 1966. № 17. P. 263–269.

Статья представлена к публикации членом редколлегии Д.А. Новиковым.

Поступила в редакцию 04.10.2007